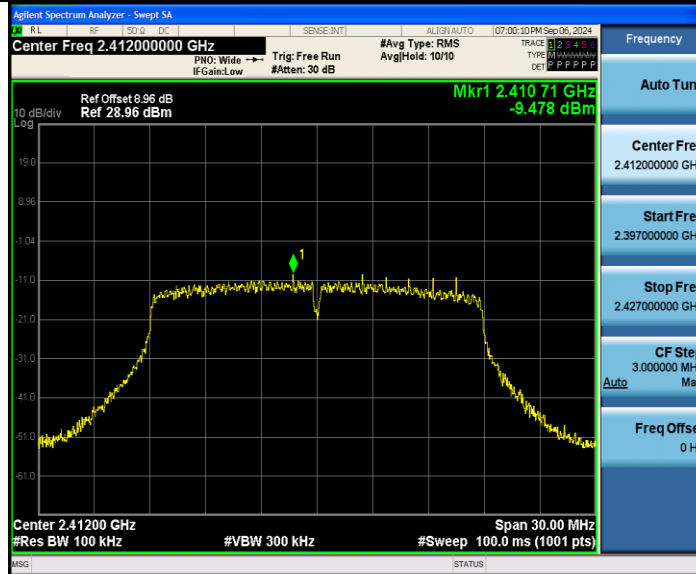
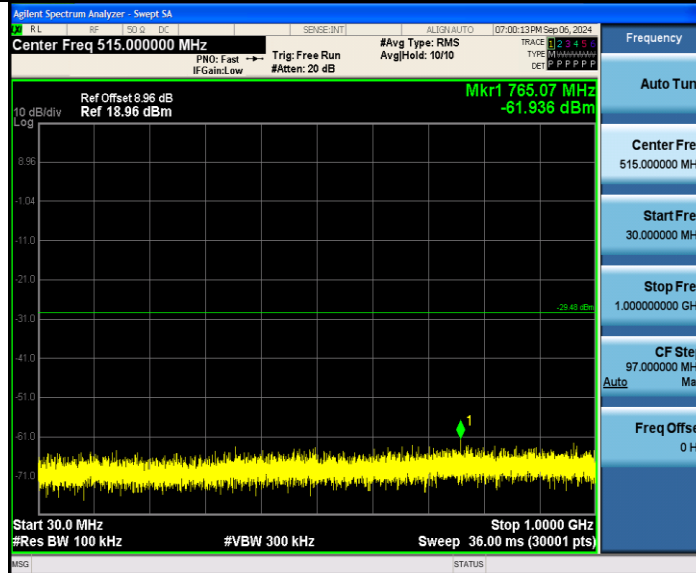


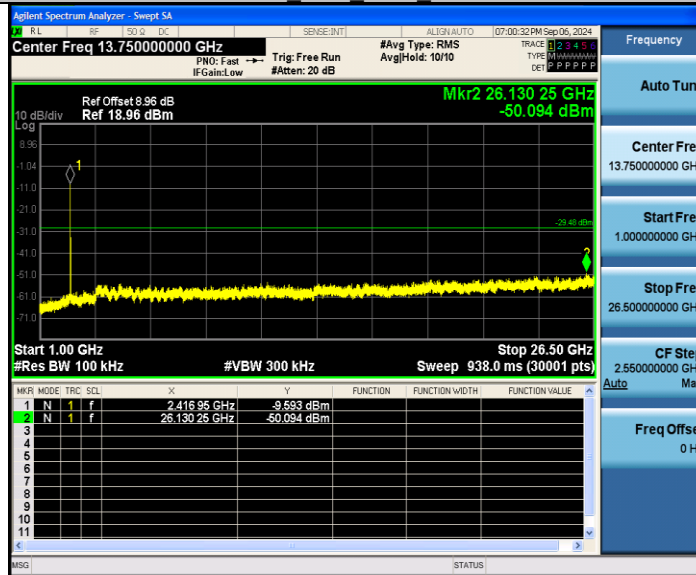
11N20MIMO Ant1 2412 0~Reference

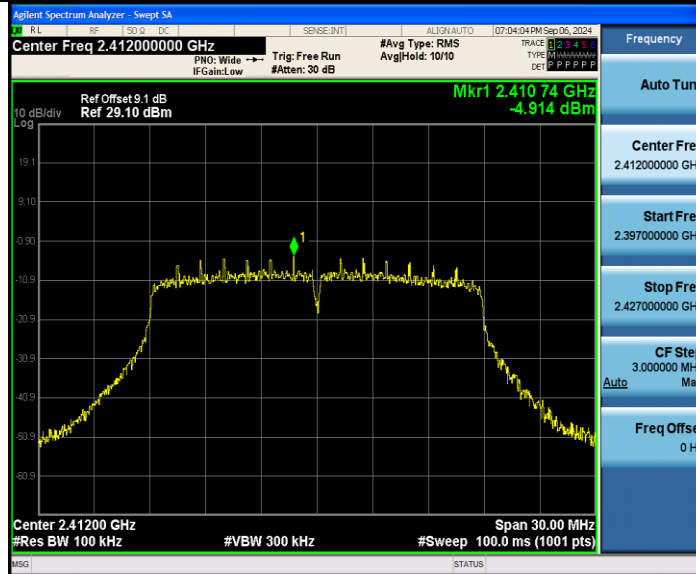
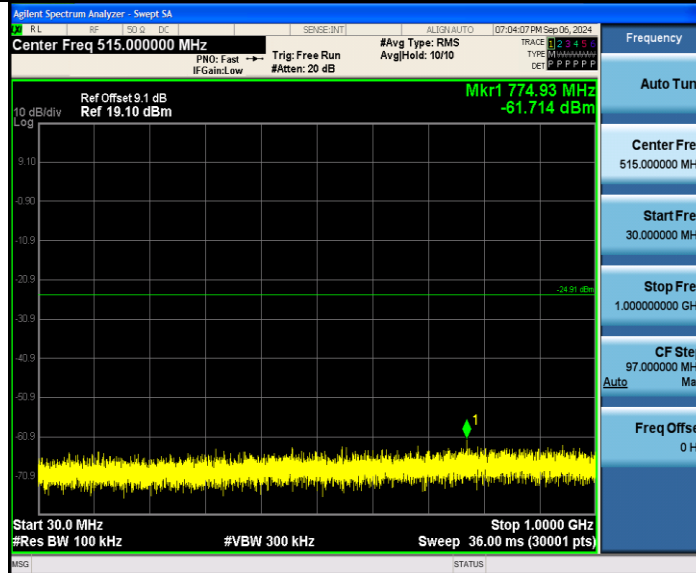
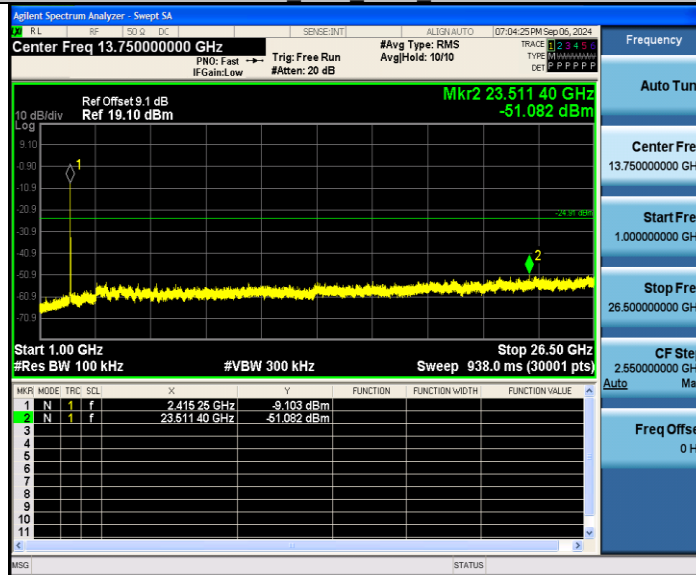


11N20MIMO Ant1 2412 30~1000

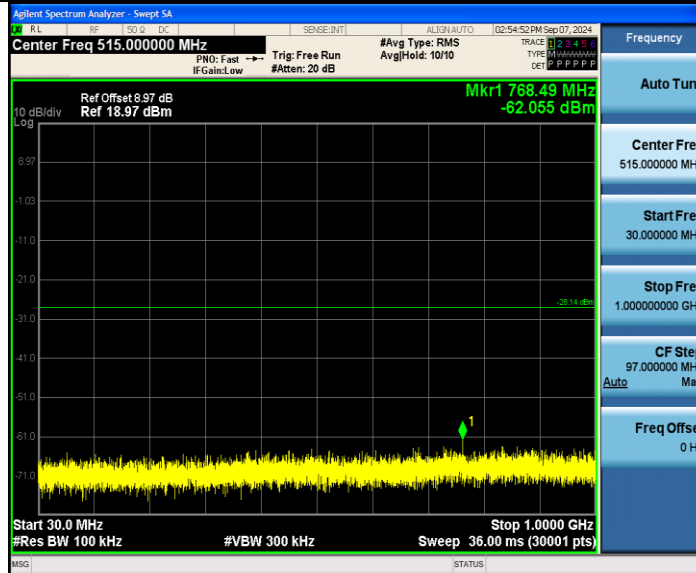
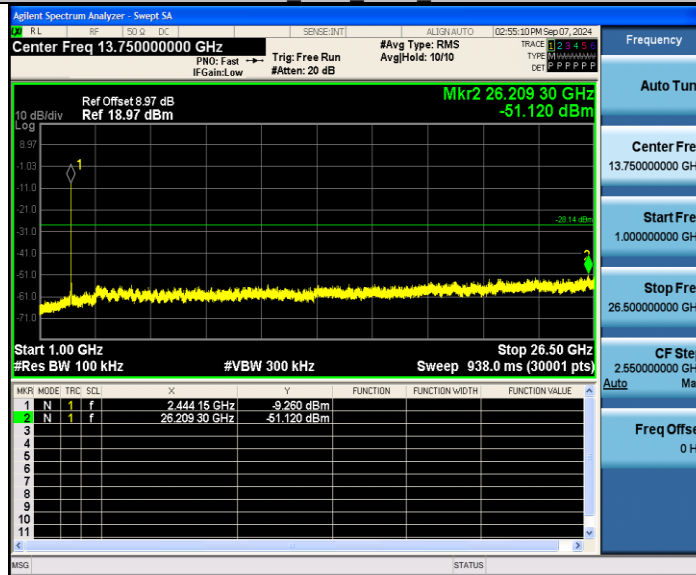


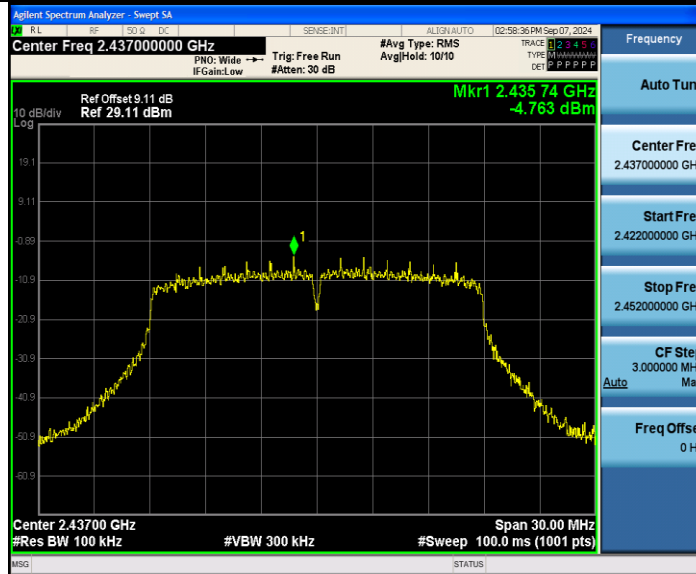
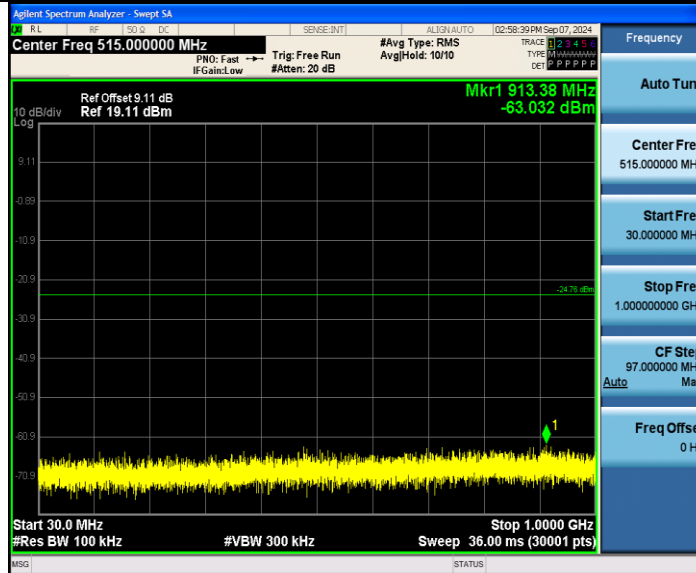
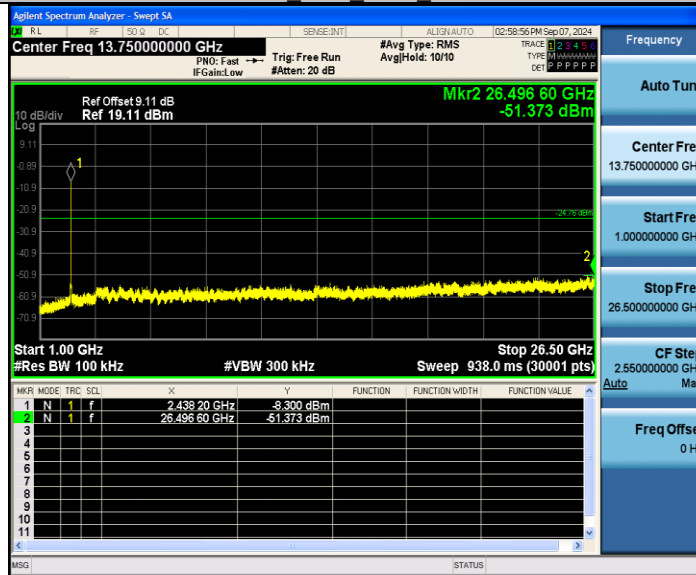
11N20MIMO Ant1 2412 1000~26500



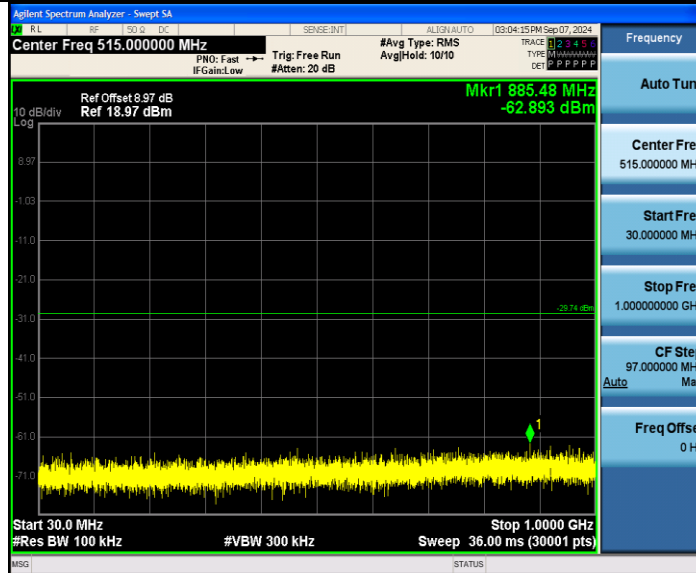
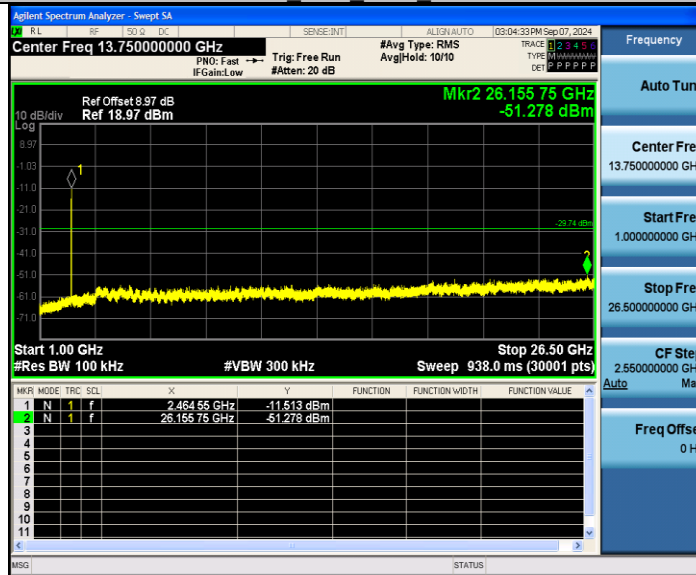
11N20MIMO Ant2 2412 0~Reference

11N20MIMO Ant2 2412 30~1000

11N20MIMO Ant2 2412 1000~26500


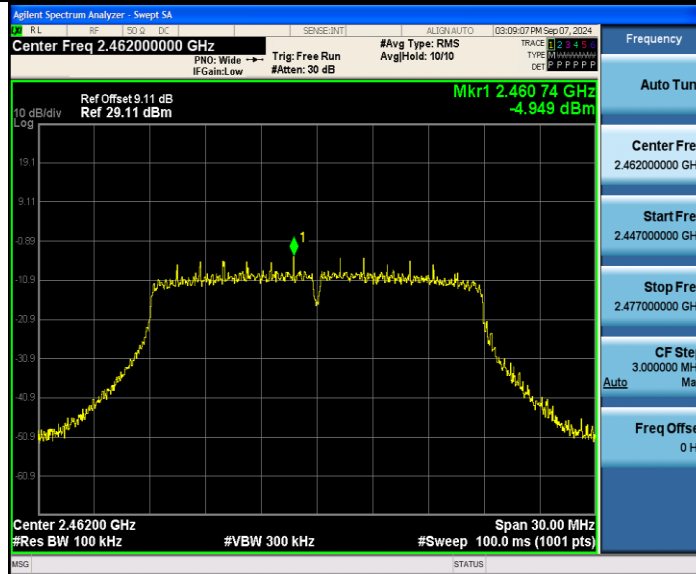
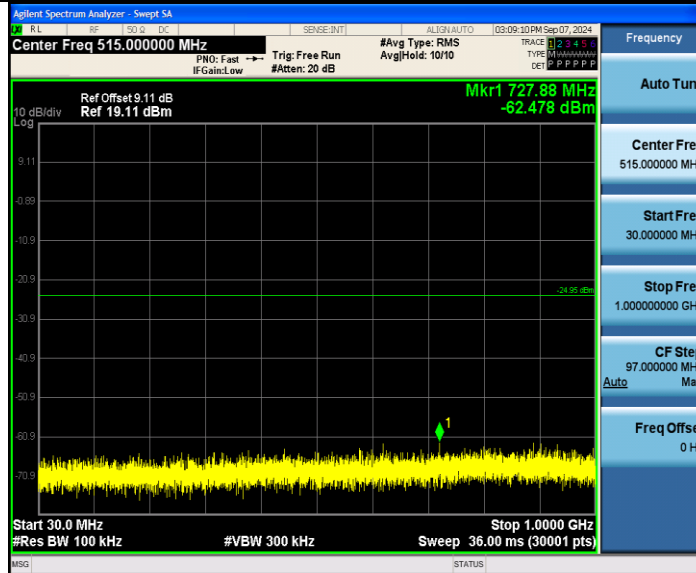
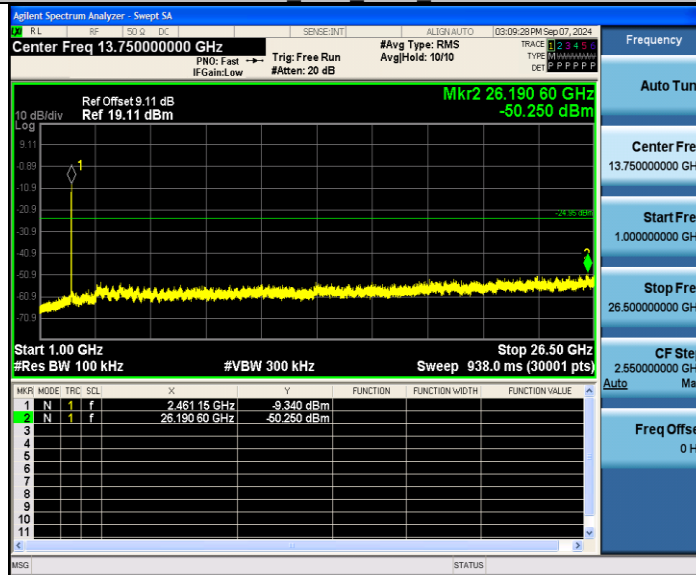
11N20MIMO Ant1 2437 0~Reference

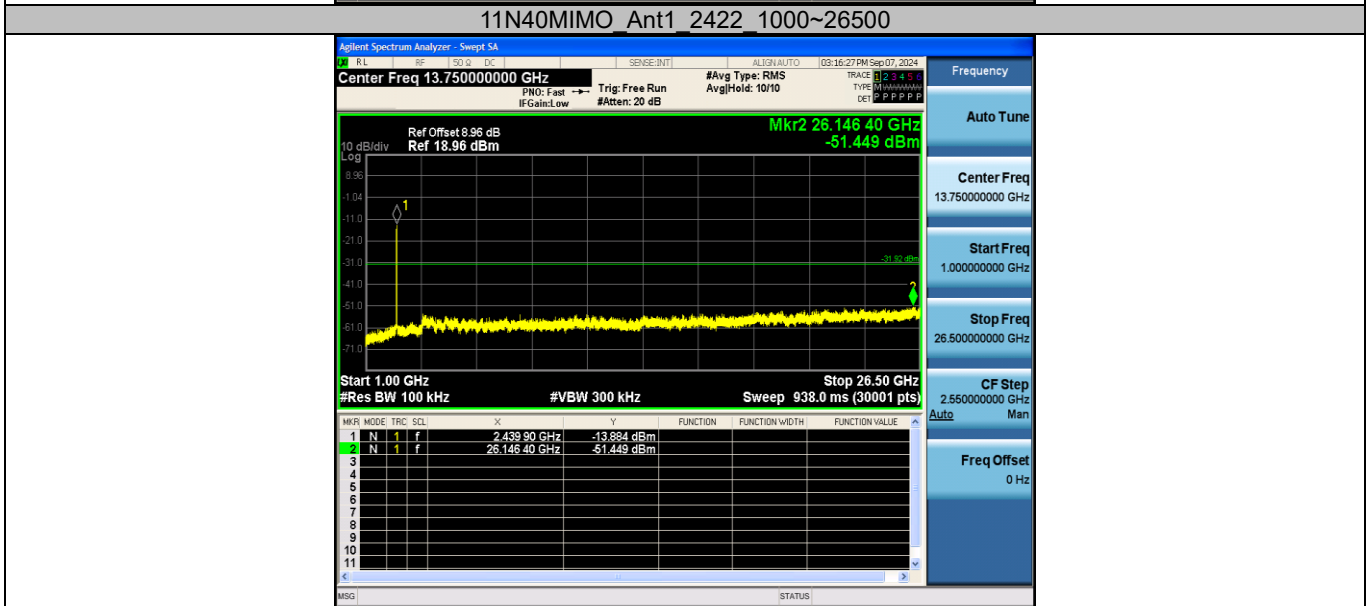
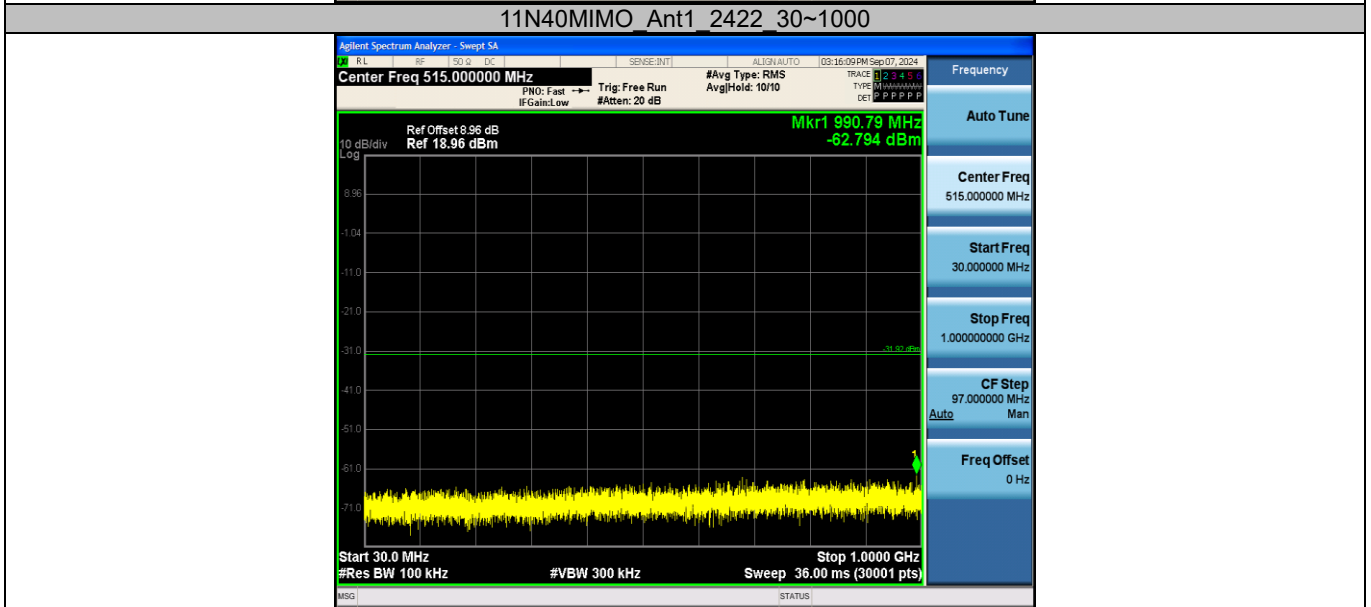
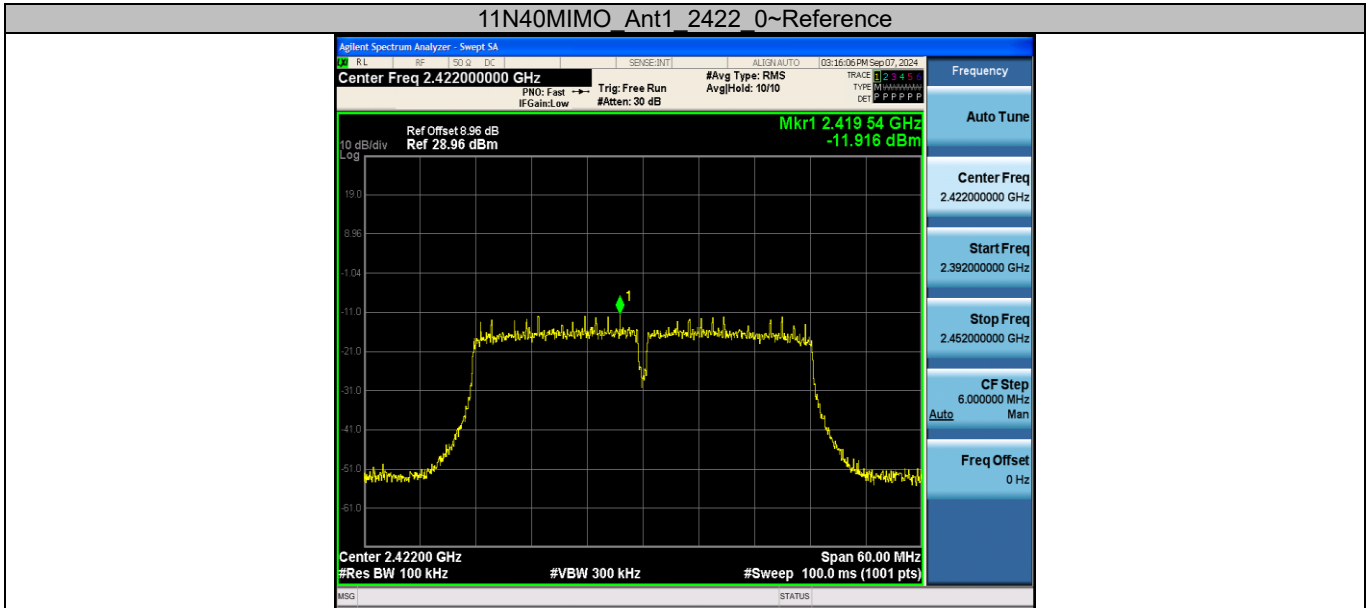
11N20MIMO Ant1 2437 30~1000

11N20MIMO Ant1 2437 1000~26500


11N20MIMO Ant2 2437 0~Reference

11N20MIMO Ant2 2437 30~1000

11N20MIMO Ant2 2437 1000~26500


11N20MIMO Ant1 2462 0~Reference

11N20MIMO Ant1 2462 30~1000

11N20MIMO Ant1 2462 1000~26500


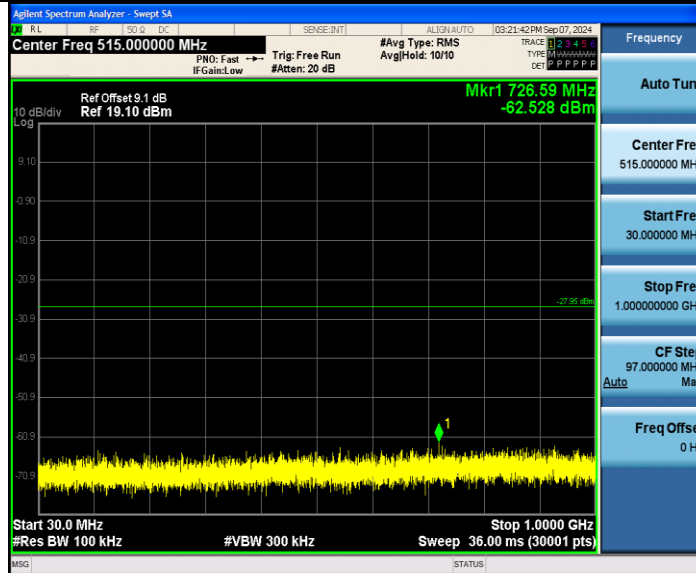
11N20MIMO Ant2 2462 0~Reference

11N20MIMO Ant2 2462 30~1000

11N20MIMO Ant2 2462 1000~26500




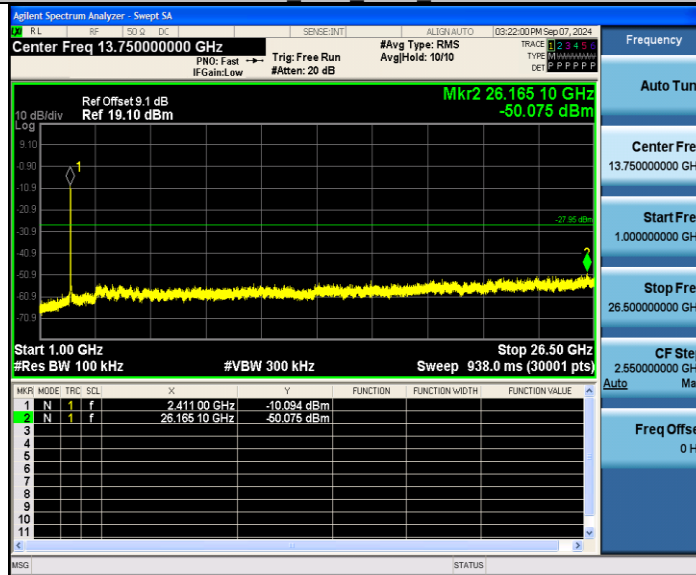
11N40MIMO Ant2 2422 0~Reference



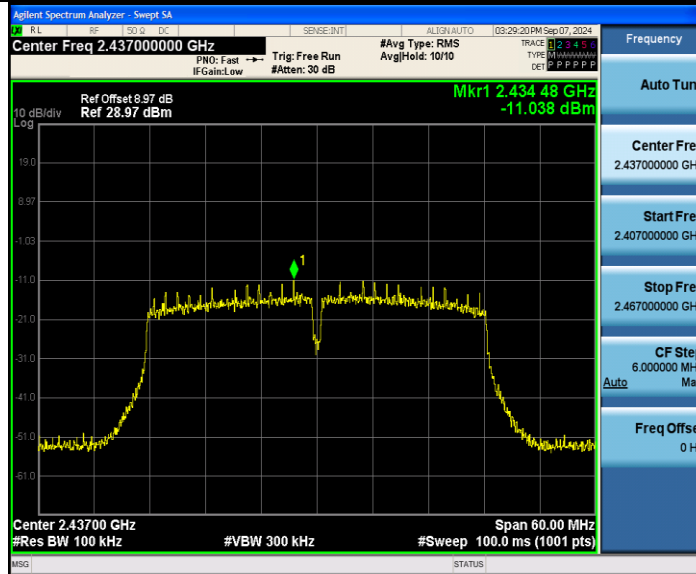
11N40MIMO Ant2 2422 30~1000



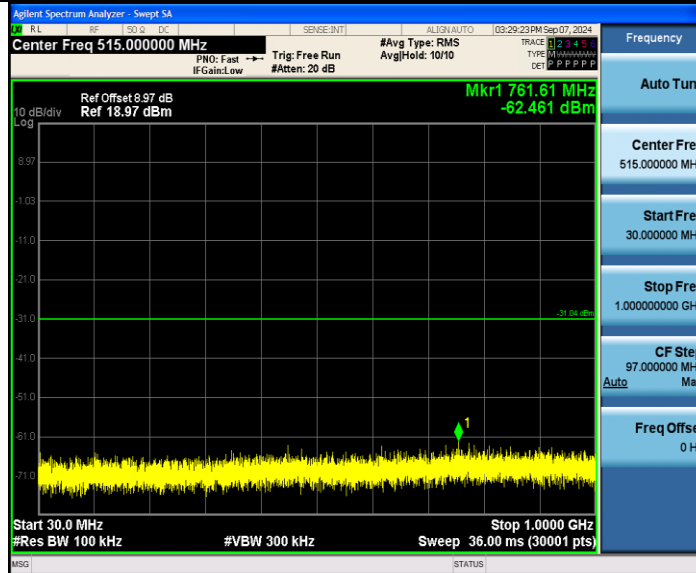
11N40MIMO Ant2 2422 1000~26500



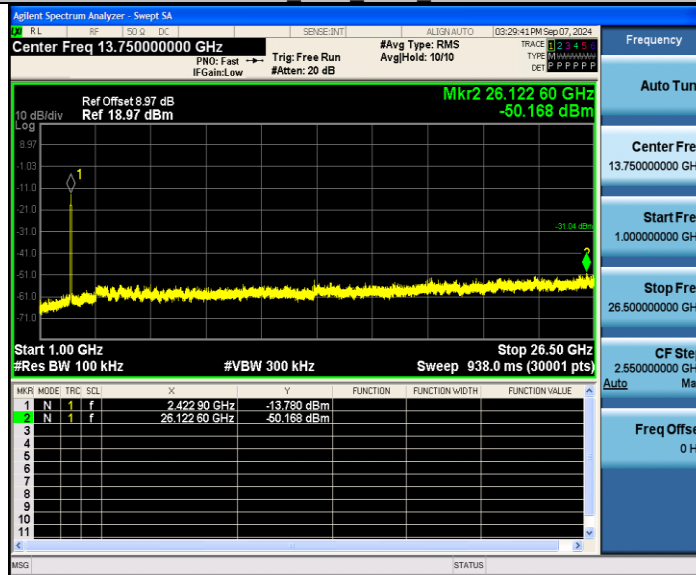
11N40MIMO Ant1 2437 0~Reference



11N40MIMO Ant1 2437 30~1000



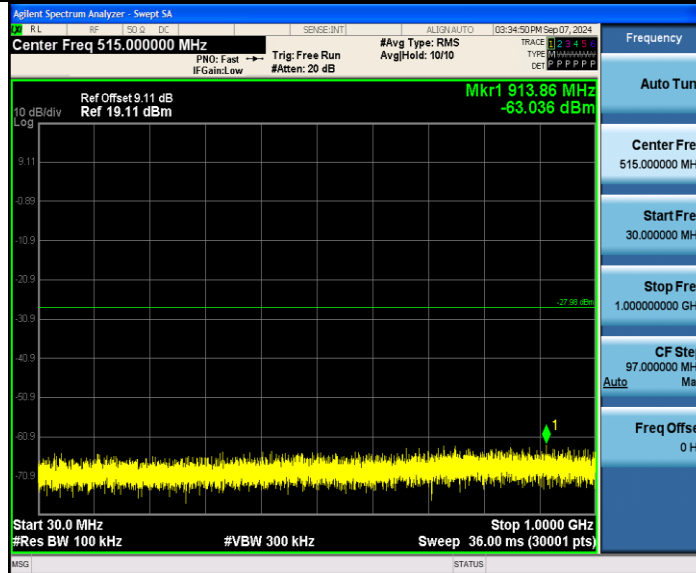
11N40MIMO Ant1 2437 1000~26500



11N40MIMO Ant2_2437_0~Reference



11N40MIMO Ant2_2437_30~1000



11N40MIMO Ant2_2437_1000~26500

